

ارائه‌ی چارچوب پشتیبان تصمیم و ارزیابی ریسک پیروزه با رویکرد ترکیبی شبیه‌سازی و تصمیم‌گیری چندمعیاره در محیط فازی (مطالعه‌ی موردي)

ابراهیم رضایی نیک\*

فہرست علمی، (دانشجوی کارشناسی، ارشد)

دانشکده‌ی فنی و صنعتی، دانشگاه صنعتی سجاد

امروزه مدیریت ریسک در انواع زمینه‌ها مورد استقبال مدیران قرار گرفته است. اثرات متقابل ریسک‌ها سبب ایجاد پیچیدگی‌هایی در انتخاب اقدامات پاسخ به ریسک شده است. انتخاب پاسخ مناسب با هدف کاهش خدا کثیر ریسک‌ها می‌تواند ابزار تصمیم‌گیری کارا در مدیریت ریسک باشد. لذا پژوهش پیش رو برای دستیابی به این هدف، به توسعه‌ی چارچوب پشتیبان تصمیم (DSS) پرداخته است که شامل قسمت شناسایی ریسک و ارزیابی ریسک با رویکرد تکیه شبهی‌سازی و تصمیم‌گیری چندمعیاره‌ی فازی، برنامه‌ی پاسخ به ریسک و پایش و کنترل ریسک در آب بنده‌ای خاکی شرکت پالایش گاز شهید هاشمی نژاد است که می‌تواند به عنوان طرح پیشنهادی برای طراحان DSS در حوزه‌ی تصمیم‌گیری مدیریت ریسک ارائه شود. این مقاله ارزیابی ریسک را در قسمت ارزیابی کیفی ابتداء با روش تجزیه و تحلیل حالات شکست فازی و سپس از تلفیق روش دیمل و تحلیل سلسه‌های مراتبی توسعه یافته‌ی فازی انجام داده است؛ به طوری که اثرات متقابل و شدت و استسکتگی‌ها محاسبه و از شبهی‌سازی موئنت کارلو برای ارزیابی کمی با در نظر گرفتن وابستگی بین ریسک‌ها استقاده کرده است. ارزیابی ۹ ریسک شناسایی شده، بر اساس شبهی‌سازی نشان می‌دهد ریسک بسته شدن لوله‌ی سریز که در تحلیل کیفی رتبه‌ی چهارم را کسب کرده بود، دارای بالاترین رتبه است.

**واژگان کلیدی:** ارزیابی ریسک، سیستم پشتیبان تصمیم، دیمتل فازی، اثرات متقابل ریسک، شیوه‌سازی مونت‌کارلو.

۱. مقدمه

و سیاست‌ها روبرو شد. به‌منظور رفع این مشکل اقدام به ساخت دودهنه آب‌بند به فاصله‌ی حدوداً چهار کیلومتر از یکدیگر در مسیل جنوبی سایت پالایشگاه بدون درظر گفتن اصول مهندسی سازه در طراحی، ساخت و اجراء، کرده است. با گذشت زمان و افزایش رسوبات و غلظت آب و کیفیت شیمیایی بسیار نامناسب آب ذخیره شده در آب‌بندها و توجه به خطرات زیست‌محیطی موجود، درصورت شکست این آب‌بندها با توجه به وجود اراضی کشاورزی و دو روستا در پایین دست، پرداختن به مددگاری سیک در آن، موضوع را ضمیمه، کرده است.<sup>[1]</sup>

از آن‌جا که توسعه‌ی چارچوب‌های پشتیبان تصمیم و استفاده از روش‌های وین می‌تواند مناسب با زمان و مطالعه‌ی موردنی نقش مؤثری در ارتقاء مدیریت ریسک داشته باشد، در این تحقیق ضمن توسعه‌ی چارچوب DSS، مصاحبه با خیرگان برای شناسایی ریسک‌های تهدیدکننده‌ی آب‌بندها و ارزیابی کیفی آن‌ها روش<sup>۳</sup> FMEA شده است و سپس با تلفیق روش دیتل و AHP<sup>۴</sup> توسعه‌ی فازی به شناسایی، روابط علی، و معلویت، بن، ریسک‌ها و محاسبه‌ی

موقیت هر پروژه، وابسته به نوع مدیریت و میران تسلط آن بر ریسک هاست. هدف پژوهش حاضر بهبود روش ارزیابی ریسک است. اکثر مدیران در هنگام تصمیم‌گیری، به خصوص زمانی که قرار است از بین چند راه حل برای یک مسئله یکی را انتخاب کنند، چار چالش می‌شوند. در مدیریت ریسک در مرحله ارزیابی ریسک نیز یک مسئله‌ای تصمیم‌گیری وجود دارد. در این راستا سیستم‌های پشتیبان تصمیم (DSS)،<sup>۱</sup> آگاهی‌های فردی را با قابلیت‌های رایانه‌یی ترکیب می‌کنند تا کیفیت تصمیم‌گیری‌ها ارتقاء باید.

شرکت پالایش گاز شهید هاشمی‌نژاد از لحاظ زمین‌شناسی، روی رسوبات آبرفتی ریزدانه‌ای متراکم با منشاء<sup>۲</sup> رسی مارنی با نفوذ‌ذیری بسیار کم احداث شده است. لذا بالاپیشگاه بعد از احداث با مشکلا، دفع آب‌های حاصل از توزلات جوی

\* میں سے کوئی نہیں تھا۔

DOI: 10.24200/IJCS.2020.54821.2074

DOI:10.24200/J65.2020.54821.2074

جان و دیگران یک چارچوب تصمیمگیری چندمعیاره برای مدیریت ریسک‌های مالی سبد پروژه‌های سازمان ارائه کردند.<sup>[۶]</sup>

دیکمن و بیرگونال روشی برای کمی‌سازی ریسک‌های پروژه با استفاده از شیوه‌ی AHP ارائه کردند. آن‌ها بر اساس مدل شبکه‌های عصبی، یک سیستم پشتیبان تصمیم نیز ارائه کردند که پروژه‌ها را با توجه به جذابیت‌ها و مزایای رقابتی شان طبقه‌بندی می‌کند.<sup>[۷]</sup>

اختارتی و دیگران برای پاسخ‌دهی به عدم قطعیت‌ها و اطمینان از کنترل مستمر ریسک در صنعت بندر، از نظریه‌ی مجموعه‌ی فازی برای تشریح ارزیابی عوامل ریسک استفاده کردند. آنها یک چارچوب پشتیبان تصمیم ایجاد کردند که برای ارزیابی ریسک‌های بندر یا ترمیمال‌ها در جهت کمک به استراتژی‌های بهبود مستمر مورد استفاده قرار می‌گیرد.<sup>[۸]</sup>

هنگ و لی یک سیستم پشتیبان تصمیم برای مدل‌سازی ریسک فرایندهای تدارکات و طراحی یک برنامه‌ی خرد شامل انتخاب تأمین‌کننده و تخصیص سفارش ارائه کردند. در این تحقیق الگوریتم شیوه‌سازی مونتکارلو برای کمی کردن ریسک‌های تأمین‌کننده‌گان مورد استفاده قرار گرفت.<sup>[۹]</sup>

سیفی و دیگران مدل یکپارچه‌یی از ارزیابی عملکرد و آنالیز ریسک را در قالب یک سیستم پشتیبانی تصمیم مدل محور، در دو مرحله‌ی برنامه‌ریزی و اجرای پروژه توسعه داده‌اند.<sup>[۱۰]</sup>

فانگ و مارل یک سیستم پشتیبان تصمیمگیری برای مدیریت ریسک‌های پروژه و تعاملات بین ریسک‌ها ارائه کردند. آنها چارچوب یکپارچه‌یی شامل شناسایی، ارزیابی و تحلیل شبکه‌یی ریسک توسعه دادند.<sup>[۱۱]</sup>

در بررسی‌های صورت گرفته روشن شد که در سیستم‌های پشتیبان تصمیم ارائه شده در حوزه‌ی این تحقیق سیستمی که تمام مراحل مدیریت ریسک را در یک پروژه بررسی کند، وجود ندارد. لذا این پژوهش چارچوب DSS ارائه شده توسط فانگ و مارل<sup>[۱۲]</sup> را در قسمت ارزیابی ریسک توسعه داده و در مطالعه‌ی موردی استفاده کرده است. در این پژوهش ارزیابی کیفی ابتدا با روش تجزیه و تحلیل حالات شکست فازی و سپس از تلفیق روش دیمیتل و تحلیل سلسه‌مراتبی توسعه یافته‌ی فازی انجام شد به‌طوری که اثرات متقابل و شدت وابستگی‌ها محاسبه شده و از شیوه‌سازی مونتکارلو برای ارزیابی کمی ریسک‌ها با در نظر گرفتن وابستگی بین ریسک‌ها استفاده شده است. در نهایت چارچوبی مطابق با جدیدترین نسخه‌ی فریبند مدیریت ریسک در استاندارد PM ۲۰۱۷<sup>[۱۳]</sup> می‌کند که کلیه‌ی مراحل مدیریت ریسک را پشتیبانی می‌کند. در قسمت روش تحقیق نوآوری هر قسمت در مقایسه با مقاله‌ی فانگ و مارل<sup>[۱۱]</sup> ذکر شده است.

### ۳.۲ ارزیابی ریسک

علم مدیریت ریسک در دوره‌ی رنسانس و در قرن شانزدهم میلادی مطرح شد. از سال ۱۹۹۰ میلادی مدل‌های مختلف مدیریت ریسک پروژه‌ها ارائه شده است. جدیدترین مدل ارائه شده مربوط به استاندارد PMBOK ۲۰۱۷ است. بر اساس این استاندارد مدیریت ریسک فرایندی نظام‌مند است که با هدف افزایش اثراً ریسک‌های مشتبث (فرست) و کاهش اثراً ریسک‌های منفی (تهدید) تدوین و پیاده‌سازی می‌شود. مدیریت ریسک شامل فرایندهای تهییه‌ی برنامه‌ی مدیریت ریسک، شناسایی ریسک، تحلیل کیفی ریسک، تحلیل کمی ریسک، برنامه‌ی پاسخ به ریسک، اجرای پاسخ‌های ریسک و برنامه‌ی کنترل و پیگیری ریسک است. در یک تقسیم‌بندی عام فرایند مدیریت ریسک به دو مرحله‌ی اصلی ارزیابی ریسک‌ها

شدت وابستگی‌ها و با شیوه‌سازی مدل حاصل به اولویت‌بندی مجدد پرداخته است.

در ادامه ابتدا مروری بر مبانی نظری و ادبیات موضوع داشته‌ایم و سپس به تبیین روش تحقیق پرداخته‌ایم. در بخش چهارم نیز نتایج عددی بر روی مطالعه‌ی موردی آببندهای خاکی پالایشگاه شهید هاشمی‌زاد بررسی شده است. در نهایت در بخش پنجم به نتیجه‌گیری و پیشنهادهای آتی پرداخته شده است.

## ۲. مبانی نظری و ادبیات موضوع

در این بخش ابتدا به بیان مفهوم ریسک و عدم قطعیت می‌پردازیم و سپس بعد از مروری اجمالی بر تعاریف و مفاهیم مورد نیاز، به بررسی چارچوب‌های پشتیبان تصمیم و هریک از بخش‌های مدیریت ریسک خواهیم پرداخت.

### ۲.۱ ریسک و عدم قطعیت

طبق تعریف راهنمای گستره‌ی دانش مدیریت پروژه (۲۰۱۷)، «ریسک» عبارت است از رخدادی غیرقطعی که در صورت وقوع بر یک یا چند هدف پروژه تأثیر مثبت یا منفی می‌گذارد. در PRAM<sup>۵</sup> ریسک به عنوان «مجموعه‌یی از رویدادهای غیرقطعی که در صورت وقوع بر اهداف پروژه تأثیر دارند» تعریف شده است. در هر دو تعریف ریسک بر مبنای عدم قطعیت بیان می‌شود ولی واژه‌ی عدم قطعیت شریح نشده است. مطابق تعاریف فوق می‌توان ارتباط عدم قطعیت و ریسک را رابطه‌ی علت و معلول دانست. ریسک رویدادی است که با اختلال معین یا قابل تعیین مشخص می‌شود ولی عدم قطعیت در ارتباط با رویدادهایی است که تعیین احتمال عددی برای آنها ممکن نیست.<sup>[۱۴]</sup> لذا می‌توان تبیجه گرفت ریسک‌ها قطعی و مشخص‌اند. مدیر پروژه می‌تواند در خصوص رویدادهای مخاطره‌آمیز بالقوه فکر کند و محاسبات پیش‌گیرانه انجام دهد. اما در مقابل، عدم قطعیت، رویداد یا وضعیت است که انتظار نمی‌رود اتفاق بیفتد هر چند از ابتدای پروژه بتوان آن را در نظر گرفت.

### ۲.۲ سیستم پشتیبان تصمیم

در اوائل سال ۱۹۷۰ اسکات مورتن برای تحسین بار مفهوم سیستم پشتیبان تصمیم را چنین بیان کرد: «سیستم‌های مبتنی بر رایانه که با استفاده از داده‌ها و مدل‌ها، مسائل ساختار نیافته را حل می‌کنند». تعریف دیگر DSS به وسیله‌ی کین و اسکات مورتن ارائه شده است: «سیستم‌های تصمیم‌یار منابع هوشمند انسانی را با توانایی‌های رایانه برای بهبود بخشیدن کیفیت تصمیمات ترکیب می‌کنند، آن‌ها تصمیم‌گیری‌های مدیریتی هستند که به مسائل نیمه‌ساخت یافته‌ی می‌پردازند».<sup>[۱۵]</sup> در تعریف دیگر DSS سیستمی است که با استفاده از منابع انسانی و قابلیت‌های رایانه، مدیر را در حل مسائل پیچیده (مسائل ساختار نیافته و نیمه‌ساخت یافته) کمک می‌کند و کیفیت تصمیم را بهبود می‌بخشد. این سیستم از کتاب هم قرار دادن چهار جزء مدیریت داده، مدیریت مدل، دانش و رابط کاربر حاصل می‌شود. هریک از عنانصر یاد شده به وسیله‌ی یک نرم افزار مدیریت می‌شود. این نرم افزار ممکن است موجود باشد یا این که باید به آن منظور برنامه‌نویسی شود.<sup>[۱۶]</sup> سیستم‌های پشتیبان تصمیم مختلفی، در زمینه‌ی فرایند مدیریت ریسک ارائه شده‌اند که به برخی از آنها اشاره می‌شود: سیستم ۱ – ICRAM که نگرشی ساخت یافته را برای ارزیابی شاخص‌های ریسک در پروژه‌های ساخت بین‌المللی ارائه می‌دهد.<sup>[۱۷]</sup>

از روش دیمیتل فازی وابستگی بین ریسک‌ها را شناسایی کند و با تکنیک AHP توسعه یافته‌ی فازی شدت وابستگی بین ریسک‌ها را اندازه‌گیری کند؛ سپس به منظور ارزیابی کمی به شبیه‌سازی مدل شبکه‌ی ریسک به روش مونت‌کارلو پردازد و ارزیابی مجدد ریسک‌ها انجام شود. در مرحله‌ی اول وابستگی بین ریسک‌ها شناسایی و شدت وابستگی‌ها را اندازه‌گیری کرده و سپس با رسم مدل شبکه، ریسک مبتنی بر تعاملات و شبیه‌سازی در محیط نرم افزار ARENA محدودیت‌های موجود در رابطه‌ی با پیچیدگی مدل‌سازی را مورد توجه قرار می‌دهد. به این ترتیب به ارزیابی و اولویت‌بندی ریسک‌ها بر اساس مدل شبیه‌سازی شده می‌پردازد.

### ۳. روش تحقیق

روش تحقیق پژوهش حاضر یک روش تحلیلی است. چنان‌که در مقدمه ذکر شد با توجه به مسائلی چون محدودیت‌های فکری بشر در پردازش و ذخیره‌سازی، محدودیت‌های دانش مورد نیاز و مشکلات هزینه‌ی و فنی همچنین نیاز به افزایش سطح کیفی تصمیمات، نیاز به سیستم پشتیبان تصمیم در مدیریت ریسک بیش از پیش احساس می‌شود. در این پژوهش ضمن توسعه‌ی چارچوب پشتیبان تصمیم ارائه شده توسط فانگ و مارل<sup>[۱۰]</sup> با بهره‌گیری از روش AHP توسعه یافته شده توسط مارل و دیگران<sup>[۱۱]</sup> وابستگی ریسک‌ها در حالت فازی ارزیابی شده است. وابستگی ریسک‌ها در مرحله‌ی شناسایی و ارزیابی در نظر گرفته شده است و با رسم مدل شبکه‌ی ریسک و انجام شبیه‌سازی مونت‌کارلو به ارزیابی کمی پرداخته شده است. شبیه‌سازی در چارچوب پشتیبان تصمیم به گونه‌ی در نظر گرفته شده که تا رسیدن به بهترین اقدام پاسخ به ریسک از تصمیم‌گیرنده حمایت کند. شکل ۱ بیان‌گر چارچوب پشتیبان تصمیم است.

در این چارچوب مرحله‌ی اجرای اقدامات پاسخ مطابق استاندارد ۲۰ PMBOK<sup>[۱۲]</sup>، بعد از برنامه‌ی پاسخ به ریسک اضافه شده است. چارچوب مدل سیستم پشتیبان تصمیم مدیریت ریسک شش مرحله است: ۱. شناسایی شبکه‌ی ریسک؛ ۲. ارزیابی شبکه‌ی ریسک؛ ۳. تجزیه و تحلیل شبکه‌ی ریسک؛ ۴. برنامه‌ریزی پاسخ ریسک؛ ۵. اجرای اقدامات پاسخ به ریسک و ۶. نظارت و پایش ریسک.

در مرحله‌ی ۱، ریسک‌های احتمالی با روش‌هایی چون مصاحبه، پرسشنامه، بررسی مستندات و ... شناسایی می‌شوند. خروجی این مرحله لیستی از ریسک‌های پژوهه است که به عنوان ورودی برای بررسی و شناسایی وابستگی ریسک‌ها برای ساخت مدل شبکه‌ی ریسک در نظر گرفته می‌شود. در پژوهش حاضر از روش دیمیتل فازی به این منظور استفاده شده است.

مرحله‌ی ۲ به ارزیابی ریسک‌ها وابستگی آنها اختصاص دارد. فانگ و مارل ریسک‌های شناسایی شده را با روش جدول ارزیابی احتمال تأثیر مورد ارزیابی قرار داده‌اند و علاوه بر این برای فاکتور احتمال وقوع مقادیر کیفی را به کمی تبدیل کرده و حاصل را به عنوان احتمال وقوع ریسک‌ها با منشاء خارج از شبکه‌ی ریسک یا احتمال خودبه‌خودی معرفی کرده است.<sup>[۱۳]</sup> در این پژوهش از روش FMEA فازی به دلیل در نظر گرفتن عامل قابلیت کشف، برای ارزیابی ریسک‌ها بهره گرفته شده است. سپس شدت وابستگی ریسک‌ها با استفاده از فازی شده‌ی روش مبتنی بر AHP توسعه یافته‌ی مدل Marle و دیگران<sup>[۱۴]</sup> محاسبه می‌شود که به عنوان احتمال انتقال بین ریسک‌ها در نظر گرفته می‌شود. بدین صورت علاوه بر ریسک‌ها، وابستگی بین ریسک‌ها نیز ارزیابی می‌شوند و مدل شبکه‌ی ریسک ایجاد می‌شود. این شبکه

شامل شناسایی و تحلیل ریسک و پاسخگویی به آن‌ها قابل تقسیم است. فرایند مدیریت ریسک مؤثر، با ارزیابی ریسک‌ها شروع می‌شود و بدون انجام این مرحله‌ی مدیریت ریسک امکان‌پذیر نیست.<sup>[۱۵]</sup> با توجه به مطالعات انجام شده در حوزه‌ی ارزیابی ریسک، مقالات مطالعه شده به ترتیب سیر تاریخی جمع‌بندی شده‌اند تا بتوان با نگاهی جامع روند استفاده از ابزارهای مختلف در هر مرحله را مورد تجزیه و تحلیل قرار داد.

با توجه به برخی مطالعات صورت گرفته در حوزه‌ی شناسایی که در جدول ۱ ذکر شده است می‌توان نتیجه گرفت بیشترین روش استفاده شده روش مصاحبه بوده و روش بعدی طراحی پرسشنامه و بررسی مستندات بوده است؛ البته باید توجه داشت که نمی‌توان راه و روش کامل و مطلقی در زمینه‌ی شناسایی ریسک مشخص کرد و روش شناسایی با اهداف و نوع پژوهه متناسب است.<sup>[۱۶]</sup>

همچنین در مرحله‌ی ارزیابی ریسک نیز از بین مقالات مورد مطالعه، ۱۶ مورد تنها از طریق تحلیل کیفی به اولویت‌بندی ریسک‌ها پرداخته‌اند (جدول ۲). بیشترین روش استفاده شده همراه با نظریه‌ی فازی و با استفاده از روش FMEA بوده است؛ این موضوع نشان می‌دهد که بیشتر مقالات به ماهیت غیرقطعی بودن ریسک توجه داشتند.

در هفت مورد مطالعه‌ی ذکر شده در جدول ۳ نیز اولویت‌بندی ریسک‌ها با روش تحلیل کمی انجام شده است. با توجه به رویکرد کلی ارزیابی ریسک‌ها، که در نظر گرفتن وابستگی‌هایی چون اثرات متقابل و هم‌رخدادی ریسک‌ها در محیط عدم قطعیت است و افزایش پیچیدگی مسائل با وجود حلقه‌های تقویت‌کننده در روابط ریسک‌ها و ماهیت احتمالی بودن متغیرها، رویکرد مقالات به سمت استفاده از روش‌های شبیه‌سازی میل کرده است.

مدل‌های شبیه‌سازی، سیستم‌های دنیای واقعی را با جزئیاتی بیشتر از مسائل بهینه‌سازی مدل می‌کنند. با هر بار اجرای مدل شبیه‌سازی شده به سؤالاتی از قبیل «چه می‌شود اگر...؟» پاسخ داده می‌شود. از این مدل‌ها زمانی استفاده می‌شود که اجرای آزمایشات واقعی پژوهی و زمان برپاشد یا اصلاً قابل اجرا نباشد. برای رسیدن به تایق قابل اعتماد مدل شبیه‌سازی شده باید بارها و بارها اجرا شود. در مدل‌های شبیه‌سازی می‌توان با اجرای سناپریوهای مختلف و تحلیل نتایج، بهترین سناپری را انتخاب کرد. مزیت این روش حصول نتایج سیار نزدیک به واقعیت در محیط‌های رقابتی است.

پژوهش حاضر در نظر دارد با هدف ارزیابی دقیق‌تر و با در نظر گرفتن اثرات متقابل ریسک‌ها، ضمن انجام تحلیل کیفی با روش FMEA فازی، با استفاده

جدول ۱. مقالات حوزه‌شناسی ریسک.

نویسنده	بررسی مستندات	جمع‌آوری اطلاعات
	روش دلفی	بررسی مصاحبه
	چک لیست	پرسشنامه
	*	*
	*	*
	*	*
	*	*
	*	*
	*	*
	*	*
	*	*
	*	*
	*	*
	*	*
	*	*
	*	*
	*	*
	*	*
	*	*

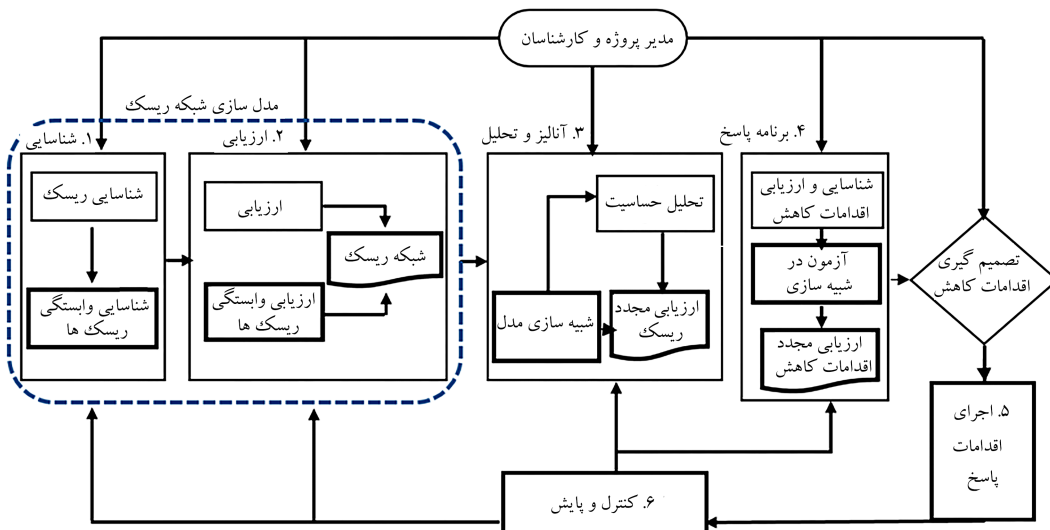
## جدول ۲. ارزیابی کیفی ریسک.

دیگر	روش های تصمیم گیری				نظریه ای فازی	نویسنده
	ANP	FMEA	TOPSIS	AHP		
لحاظ وابستگی معیارها و زیرمعیارها	*	*	*	*	*	[۲۲]
ترکیب دیتمل و AHP			*	*	*	[۲۳]
	*			*	*	[۲۴]
	*			*	*	[۲۵]
	*			*	*	[۲۶]
			*	*	*	[۲۷]
		*			*	[۲۸]
FLINMAP		*		*	*	[۲۹]
			*	*	*	[۳۰]
			*	*	*	[۳۱]
ارائه مدل فازی جدید	*				*	[۳۲]
لحاظ وابستگی بین معیارها	*		*	*	*	[۳۳]
لحاظ اثرات متقابل ریسکها			*	*	*	[۳۰]
	*			*	*	[۳۴]
			*	*	*	[۳۵]

### جدول ۳. ارزیابی کمی ریسک.

نویسنده	EMV <sup>۱</sup>	شبیه‌سازی	نظریه مطلوبیت	تحلیل حساسیت	دیگر
مونت کارلو	[۳۶]	*			
مونت کارلو، فازی	[۳۷]	*			
*	[۳۸]				
*	[۳۹]				
پیشامدگی‌نماییه	[۱۱]	*			
مجموع وزین	[۴۰]		*		
مونت کارلو	[۴۱]	*	*	*	

#### 1. Expected Monetary value



### شکل ۱. چارچوب پشتیبان تصمیم.

لوله سرریز (R<sub>۵</sub>)؛ ۶. فرسایش خاک (E<sub>۴</sub>)؛ ۷. زمین‌لغزش (R<sub>۷</sub>)؛ ۸. زمین‌لرزه (R<sub>۸</sub>)؛ ۹. حیوانات حفار (R<sub>۹</sub>)).

شامل احتمال وقوع ریسک‌ها و احتمال انتقال از یک ریسک به ریسک دیگر است.

در مرحله‌ی ۳ شبکه‌ی ریسک شبیه‌سازی می‌شود و رفتار انتشار ریسک مورد بررسی قرار می‌گیرد. در نتیجه، ریسک‌ها با توجه به وابستگی بین آنها توسط دو فاکتور تراوب تکرار یا فرکانس وقوع و پیامدهای ریسک یا اثرات ریسک دوباره ارزیابی می‌شوند. تحلیل حساسیت نیز برای افزایش قابلیت اطمینان فاز تحلیل شبکه‌ی ریسک در این مرحله انجام می‌شود.

مرحله‌ی ۴ برنامه‌ریزی پاسخگویی به ریسک است که شامل گام‌های ذیل است:  
 الف) شناسایی اقدامات کاهش ریسک براساس نتایج تحلیلی فاز قبل انجام خواهد گرفت؛ ب) در مدل شبیه‌سازی اقدامات شناسایی شده برای برآورد اثرات آنها بر روی هدف مشخص مورد آزمایش قرار می‌گیرد؛ ج) اقدامات کاهش ریسک با توجه به اثرات، مجدد ارزیابی می‌شوند، سپس مدیر پروژه می‌تواند با مشاهده نتایج، تصمیمات مربوط به اقدامات پیشنهاد شده توسط سیستم را تصویب کند. در نهایت، بر تحوال در شبکه‌ی ریسک نظرارت می‌شود و اثربخشی اقدامات مورد بررسی قرار می‌گیرد تا پروژه کنترل شود.

مرحله‌ی ۵ مربوط به اجرای اقدامات پاسخ به ریسک است در این مرحله اقدام برگزیده اجرا و نتایج در سیستم ثبت می‌شود.

مرحله‌ی ۶ نظارت و کنترل بازخورد را برای مراحل قبلی فراهم می‌کند و اصلاح و بهبود نتایج آنها را ممکن می‌کند. این سیستم پشتیبان تصمیم برای مدیریت ریسک پروژه به عنوان ابزاری برای تصمیم‌سازی استفاده می‌شود. بدیهی است تصمیم‌گیرندگان (عموماً مدیر پروژه و تیم کارشناسان) مجاز به تکمیل و اصلاح پیشنهادهای مدیریتی سیستم هستند.

### ۱.۳. تشکیل تیم ارزیابی

در این تحقیق، جامعه‌ی آماری شامل متخصصین فعل در زمینه‌ی مدیریت ریسک بوده و نمونه‌گیری به صورت غیرصادفی انجام شده است. ملاک اصلی انتخاب خبره، سابقه کار و آشنایی با منطقه‌ی سرخس و ارزیابی ریسک سازه‌های آبی است. لذا با توجه به محدودیت‌های موجود در دستیابی به خبرگان با شرایط لازم، برای انتخاب خبره از روش نمونه‌گیری هدفمند [۲۲] استفاده شد تا در حد امکان ویژگی‌های جامعه واقعی را داشته باشد. لذا سه تن از متخصصین رشته مهندسی زمین‌شناسی که آشنایی لازم و تجربه کاری و پژوهشی در منطقه را داشتند انتخاب شدند. جدول ۴ برخی ویژگی تیم ارزیابی را نشان می‌دهد.

### ۲.۳. شناسایی ریسک

با بررسی مستندات و مصاحبه، ۹ ریسک شناسایی شدند. ۱. ریشنهای جوی از نوع باران‌های با شدت بالا و طولانی مدت (R<sub>۱</sub>)؛ ۲. نفوذ آب به داخل تاج آب بندها (R<sub>۲</sub>)؛ ۳. وقوع سیلاب (R<sub>۳</sub>)؛ ۴. عوامل انسانی (R<sub>۴</sub>)؛ ۵. بسته شدن

جدول ۴. مشخصات تیم ارزیابی.

مرتبه علمی	تجربه	تحصیلات	زمینه‌کاری
استاد دانشگاه	≤ ۳۰ سال	دکترا	(۰, ۰, ۰, ۲۵)
استاد دانشگاه	≤ ۳۰ سال	دکترا	(۰, ۰, ۲۵, ۰, ۵)
کارشناس ناظر	≤ ۱۵ سال	دکترا	(۰, ۲۵, ۰, ۵, ۰, ۷۵)

### جدول ۵. طیف اعداد فازی.

معادل فازی	معادل قطعی	متغیر
(۰, ۰, ۰, ۲۵)	۰	بدون تأثیر
(۰, ۰, ۲۵, ۰, ۵)	۱	تأثیر کم
(۰, ۲۵, ۰, ۵, ۰, ۷۵)	۲	تأثیر متوسط
(۰, ۵, ۰, ۷۵, ۱)	۳	تأثیر زیاد
(۰, ۷۵, ۱, ۱)	۴	تأثیر خیلی زیاد

جدول ۶. طیف فازی روش FMEA فازی.

قابلیت کشف	احتمال وقوع	شدت اثر	معادل قطعی	معادل فازی
قریباً غیر قطعی	فوق العاده زیاد ( $\leq 1$ در ۲)	خطرناک - بدون هشدار	۱۰	(۹, ۱۰)
خیلی بعید	خیلی زیاد (۱ در ۳)	خطرناک - با هشدار	۹	(۸, ۹, ۱۰)
بعید	نقص‌های تکراری (۱ در ۸)	خیلی زیاد	۸	(۷, ۸, ۹)
خیلی کم	زیاد (۱ در ۲۰)	زیاد	۷	(۶, ۷, ۸)
کم	نسبتاً زیاد (۱ در ۸۰)	متوسط	۶	(۵, ۶, ۷)
متوسط	متوسط (۱ در ۴۰)	کم	۵	(۴, ۵, ۶)
نسبتاً کم	نسبتاً کم (۱ در ۲۰۰۰)	خیلی کم	۴	(۳, ۴, ۵)
زیاد	کم (۱ در ۱۰۰۰۰)	آثار جزئی	۳	(۲, ۳, ۴)
خیلی زیاد	کم (۱ در ۱۵۰۰۰۰)	خیلی جزئی	۲	(۱, ۲, ۳)
قریباً غیرممکن ( $1 \geq$ در ۱۵۰۰۰۰)	تعیین نمی‌شود	هیچ	۱	(۰, ۱, ۱)

#### ۴.۳ ارزیابی ریسک‌ها به روش FMEA

تجزیه و تحلیل ریسک و اثرات آن FMEA نامیده می‌شود. این شیوه که برای اولین بار در ارتش آمریکا مورد استفاده قرار گرفته، تحلیلی است که می‌کوشد تا حد ممکن خطرات بالقوه موجود در محدوده‌یی که در آن ارزیابی ریسک انجام می‌شود و همچنین علل و اثرات مرتبط با آن را شناسایی و رتبه‌بندی کند. این رتبه‌بندی از طریق حاصل ضرب سه عامل احتمال وقوع و شدت اثر و قابلیت کشف محاسبه می‌شود که آن را عدد اولویت ریسک (RPN) <sup>[۴]</sup> می‌نامند.

طبق روش کیان فرو دیگران برای اولویت‌بندی عوامل مؤثر در RPN، چهار گام تعريف شده: ۱. تخصیص یک متغیر زبانی به هریک از عوامل عدد ریسک پذیری؛ ۲. تعريف هر متغیر زبانی به صورت یک عدد فازی مثلثی؛ ۳. ضرب عوامل ریسک پذیری به صورت فازی و به دست آوردن RPN فازی؛ ۴. غیرفازی کردن عدد RPN و اولویت‌بندی علل.<sup>[۲۱]</sup>

مطابق روش، پرسشنامه برای سه خبره آماده و مطابق جدول ۶ تکمیل شد و میانگین نظرات جهت رسیدن به RPN نهایی محاسبه شد که حاصل ضرب فازی سه عدد نزخ و خامت (S) احتمال وقوع (O) و قابلیت کشف (D) است که در رابطه‌ی ۱۰ نشان داده شده است:

RPN

$$= Severity * occurrence$$

\*Detection

$$= (l_1, m_1, u_1) * (l_2, m_2, u_2)$$

$$*(l_3, m_3, u_3)$$

$$= (l_1 l_2 l_3, m_1 m_2 m_3, u_1 u_2 u_3) \quad (10)$$

مزیت این روش در قابل فهم بودن و پیچیده نبودن محاسبات است. برای غیر فازی کردن عدد RPN، نیز از روش امتیازدهی به چپ و راست عدد فازی استفاده کردند.

روش امتیازدهی به چپ و راست عدد فازی برای تابع عضویت پیوسته استفاده می‌شود. در این روش امتیاز قطعی یک عدد فازی از مقدار امتیازات چپ و راست عدد فازی  $F$  به دست می‌آید. اگر فرض شود یک مجموعه فازی مثلثی تحت عنوان  $F = (\alpha, m, \beta)$  باشد. تابع عضویت عدد فازی  $F$  به صورت رابطه‌ی

آن عدد فازی  $(l_{ij}^t, m_{ij}^t, u_{ij}^t)$  است:

$$[l_{ij}^t] = H_l \times (I - H_l)^{-1} \quad (4)$$

$$[m_{ij}^t] = H_m \times (I - H_m)^{-1} \quad (5)$$

$$[u_{ij}^t] = H_u \times (I - H_u)^{-1} \quad (6)$$

گام ۴. محاسبه شدت و جهت تأثیر در این گام مجموع سطرهای و ستون‌های ماتریس  $T$  محاسبه می‌شود. شاخص  $\tilde{D}$  بیان‌گر مجموع سطرهای  $i$  و شاخص  $\tilde{R}_j$  بیان‌گر مجموع ستون زام از ماتریس ارتباطات کامل ( $T$ ) است. ترسیم و تحلیل نمودار به دو شاخص شدت اثرگذاری و اثرپذیری و جهت تأثیر نیاز دارد. که با استفاده از  $\tilde{D}$  و  $\tilde{R}_j$  به دست می‌آیند.  $\tilde{D}$  و  $\tilde{R}_j$  به ترتیب ماتریس  $1 \times n$  هستند. برای هر  $j = i$  خواهیم داشت:

$$\tilde{D} = (\tilde{D}_i)_{n \times 1} = \left[ \sum_{i=1}^n \tilde{T}_{ij} \right]_{n \times 1} \quad (7)$$

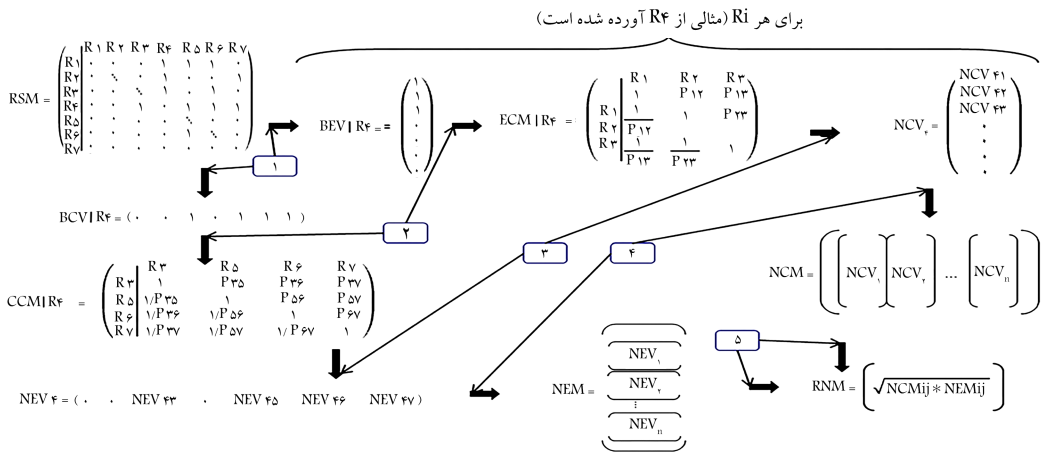
$$\tilde{R}_j = (\tilde{R}_i)_{1 \times n} = \left[ \sum_{j=1}^n \tilde{T}_{ij} \right]_{1 \times n} \quad (8)$$

با توجه به ماتریس  $T$  محاسبه شده، در مرحله‌ی بعدی میزان اهمیت معیارها ( $\tilde{D}_i + \tilde{R}_i$ ) و رابطه‌ی بین معیارها ( $\tilde{D}_i - \tilde{R}_i$ ) مشخص می‌شود. سپس شاخص‌ها و ماتریس  $T$  به روش فازی زدایی مرکز سطح، فازی زدایی می‌شود، اگر  $z = (l, m, u)$  باشد آنگاه:

$$defuzz = \frac{(u - l) + (m - l)}{3} + l \quad (9)$$

گام ۵. ترسیم نقشه‌ی روابط شبکه (NRM) برای تعیین NRM، باید ارزش آستانه محاسبه شود. برای محاسبه مقدار آستانه روابط، کافی است میانگین حسابی مقادیر دی‌فاری شده ماتریس  $T$  به دست آید. بعد از تعیین حد آستانه، تمامی مقادیری که کوچکتر از حد آستانه باشند صفر شده یعنی آن رابطه‌ی علی، در نظر گرفته نمی‌شود. با این روش می‌توان از روابط جزئی صرف نظر کرده و شبکه‌ی روابط قبل اعتمنا را ترسیم کرد.

- $ri + dj$ : شدت اثرگذاری و اثرپذیری (به عبارت دیگر هرچه مقدار  $ri + dj$  عاملی بیشتر باشد، آن عامل تعامل بیشتری با سایر عوامل سیستم دارد؛  $ri - dj$ : جهت تأثیرگذاری یا تأثیرپذیری (بدین صورت که اگر  $ri - dj > 0$  باشد معیار مربوطه اثرگذار و اگر  $ri - dj < 0$  باشد معیار مربوطه اثرپذیر است). به این ترتیب ماتریس روابط درونی ریسک‌ها حاصل می‌شود.



شکل ۲. الگوریتم محاسبه شدت وابستگی بین ریسک‌ها.<sup>[۱۶]</sup>

و  $\beta$  نشان می‌دهد با کاهش  $\beta$  و افزایش  $\alpha$  خروج احتمالات تبدیل شده از مقدار یک امکان پذیر است که وضعیتی غیرقابل قبول را برای احتمال ایجاد می‌کند.

است:<sup>[۱۷]</sup>

$$\mu_A(x) = \begin{cases} \frac{x-(m-\alpha)}{\alpha} & m-\alpha \leq x \leq m \\ \frac{(m+\beta)-x}{\beta} & m \leq x \leq m+\beta \end{cases} \quad (11)$$

امتیازات چپ و راست عدد فازی  $F$  مطابق روابط ۱۲ و ۱۳ به دست می‌آید.

$$M_L(A) = 1 - \frac{m}{1+\alpha} \quad (12)$$

$$M_R(A) = \frac{m+\beta}{1+\beta} \quad (13)$$

با به دست آوردن این امتیازات می‌توان امتیاز کل را محاسبه کرد و به عنوان یک مقدار دقیق و معین در محاسبات بعدی از آن استفاده کرد.

$$\mu_T(x) = \frac{\mu_R(x) + 1 - \mu_L(x)}{2} \quad (14)$$

### ۵.۳. محاسبه احتمال خودبهخودی<sup>۷</sup>

فانگ و مارل احتمال خودبهخودی را به عنوان احتمال وقوع ریسک‌ها با منشا خارجی (ناشی از حوادث خارجی یا ریسک‌های خارج از سیستم) در نظر گرفتند.<sup>[۱۸]</sup> در عمل معمولاً سه روش برای تخمین احتمال وقوع هر پیشامد به کار برده می‌شود. در مواردی مانند پرتاپ سکه با محاسبات ریاضی می‌توان احتمال وقوع هر وضعیت را به دست آورد. در سایر موارد که مسئله به این سادگی نیست، می‌توان از اطلاعات و تجربه گذشته که البته باید تا حد قابل قبول مشابه وضعیت حاضر باشند، استفاده کرد. برای محاسبه احتمال وقوع اتفاقاتی که به ندرت اتفاق می‌افتد، روش محاسبات ریاضی جوابگو نیست و اطلاعات ثبت شده کافی در دسترس ناست. در این حالت راهی به جز اتکا به قضاوت متخصصان و اهل فن وجود ندارد.<sup>[۱۹]</sup>

در ارزیابی کیفی نیز مطابق نظر خبرگان به احتمال خودبهخودی ریسک‌ها امتیاز داده می‌شود، فانگ و مارل با استفاده از رابطه‌ی زیر امتیازات احتمال وقوع خودبهخودی را به بازه  $(0, 1)$  برای ورودی مدل شبیه‌سازی، تبدیل کرده است.<sup>[۱۰]</sup>

$$p = \alpha \times 10^{(\frac{-\beta}{s})} \quad (15)$$

که در آن  $p$  احتمال کمی و  $s$  مقدار کیفی احتمال (امتیاز داده شده به احتمال وقوع از سوی خبرگان)  $\beta$  را نشان می‌دهد. تحلیل حساسیت روی مقادیر  $\alpha$

## ۶. محاسبه شدت وابستگی ریسک با تلفیق روش دیمتل فازی و AHP توسعه یافته فازی

برای تخمین میران وابستگی بین ریسک‌ها دو روش استفاده می‌شود که عبارت اند از ارزیابی مستقیم و ارزیابی نسبی. ارزیابی مستقیم برای هر وابستگی بالغه توسط یک چند کارشناس با توجه به تجربه و یا تخصص خود تعیین می‌شود. ارزیابی نسبی از مقایسه علل (یا اثرات) یک ریسک واحد حاصل می‌شود که تعاملات چندگانه دارد.<sup>[۱۱]</sup> این مقاله از روش ارزیابی نسبی استفاده کرده و تعاملات به روش دیمتل فازی شناسایی شده است. وزن نسبی با استفاده از اصل مقایسات زوجی در فرایند AHP که توسط ساعتی مطرح شده است، تعیین می‌شود. ارزیابی نسبی مبتنی بر AHP توسط مارل و همکاران برای به دست آوردن مقادیر عددی شدت وابستگی ریسک‌ها توسعه داده شده است و الگوریتم روند محاسبات در شکل ۲ قابل مشاهده است.<sup>[۱۶]</sup> در این پژوهش این محاسبات بنا به در نظر گرفتن عدم قطعیت موجود، در محیط فازی محاسبه شده است. ماتریس RSM<sup>۸</sup> که نشان‌دهنده روابط شبکه‌ی ریسک است توسط روش دیمتل به دست می‌آید.

هر مقدار عددی ۱ در سطر ماتریس RSM نشان‌دهنده علت‌های احتمالی برای وقوع یک ریسک است و در واقع نشان‌دهنده این است که یک ریسک از کدام ریسک‌ها تأثیر می‌پذیرد به عنوان مثال در سطر چهارم ماتریس RSM، ریسک  $R_4$  از ریسک‌های  $R_1, R_2, R_3, R_4, R_5, R_6, R_V$  تأثیر می‌پذیرد و این سطر نشان‌دهنده بردار یکه‌ی علت برای  $R_4$  است. (BCV) <sup>۹</sup> هر مقدار عددی ۱ در ستون ماتریس RSM نیز نشان‌دهنده تأثیراتی است که یک ریسک بر دیگر ریسک‌ها می‌گذارد، به عنوان مثال در ستون چهارم  $R_4$  بر روی  $R_1, R_2, R_3, R_4, R_5, R_6, R_V$  تأثیر می‌گذارد و این ستون از ماتریس RSM نشان‌دهنده بردار یکه‌ی تأثیر برای  $R_4$  است (BEV). اول بردارهای یکه علت و تأثیر برای هر کدام از ریسک‌ها در نظر گرفته می‌شود. سپس در مرحله‌ی ۲ برای تعیین میران نسبی تأثیرپذیری و تأثیرگذاری یک ریسک بر دیگر ریسک‌ها، پرسش‌نامه‌های مقایسات زوجی علل و اثرات هر ریسک به صورت فازی تشکیل و در اختیار خبرگان قرار داده می‌شود (CCM و ECM)<sup>۱۰</sup> سپس با استفاده

لذا با انجام ارزیابی کیفی ریسک‌ها به روش FMEA و محاسبه‌ی احتمالات خودبه‌خودی و به دست آوردن مقادیر ماتریس RNM (احتمال انتقال بین ریسک) مقادیر وابستگی، مدل شبکه‌ی ریسک قابل رسم خواهد بود. محاسبه‌ی انتشار ریسک در شبکه دشوار است، به ویژه با پذیده‌های پیچیده مانند وابستگی‌های حلقة‌ی. علاوه بر این، در زمینه‌ی مدیریت پروژه، انجام مطالعات آزمایشی به خصوص در مورد پروژه‌ها، پرهزینه و غیرممکن است. لذا از شبیه‌سازی به عنوان یک ابزار جایگزین برای تحقیقات تجربی در DSS، بهره‌گرفته شده است. تکنیک‌های شبیه‌سازی به طور گسترده‌ی برای ساخت سیستم‌های پشتیبان تصمیم مبتنی بر مدل استفاده می‌شوند و به تصمیم‌گیرنده در پیش‌بینی اثرات ریسک‌ها، اقدامات و تخصیص منابع با ارزیابی عواقب بالقوه آنها کمک می‌کند. بنابراین، در این تحقیق، شبکه‌ی ریسک پروژه از طریق شبیه‌سازی در نرم‌افزار ARENA مدل‌سازی و تحلیل می‌شود.

### ۷.۳. ارزیابی ریسک‌ها به روش شبیه‌سازی مونت‌کارلو

به طور کلی، روش مونت‌کارلو (با شبیه‌سازی مونت‌کارلو) به هر شبیه‌سازی که از طریق نمونه‌سازی آماری پاسخ‌هایی تقریبی برای مسائل کمی فراهم می‌کند، اطلاق می‌شود. شبیه‌سازی مونت‌کارلو بیشتر برای توصیف روشی برای انتشار عدم قطعیت‌های موجود در روده مدل به عدم قطعیت‌ها در خروجی مدل به کار می‌رود. بنابراین مونت‌کارلو، نوعی شبیه‌سازی است که صریحاً و به صورت کمی، عدم قطعیت را نمایش می‌دهد.

بر اساس مقاله‌ی فانگ و مارل، احتمال وقوع ریسک را می‌توان پس از اتخاذ رفتار انتشار ریسک، به وسیله‌ی معیار فرکانس ریسک آماری که در شبیه‌سازی بیان شده به دست آورده. در عمل، یک ریسک ممکن است بیش از یک بار در طی یک تکرار شبیه‌سازی پروژه رخ دهد و این نشان از سازگاری با شرایط واقعی دارد. تناوب تکرار یا فرکانس ریسک شبیه‌سازی نشان‌دهنده‌ی میانگین وقوع ریسک در طول پروژه است که ممکن است بیشتر از یک بار باشد. رابطه‌ی بین فرکانس ریسک شبیه‌سازی شده و احتمال وقوع ریسک در رابطه‌ی  $2^0$  بیان شده است:

$$RF[i] = P_1(R_i) + 2P_2(R_i) + 3P_3(R_i) + \dots \quad (20)$$

$$RF[i] = \lim_{m \rightarrow \infty} \sum_{k=1}^m k.P_k(R_i) \quad (21)$$

معادله‌ی ۲۱ نشان‌دهنده‌ی فرکانس ریسک شبیه‌سازی شده  $R_i$  است<sup>۱۴</sup> و  $P_k(R_i)$  نشان‌دهنده‌ی احتمال وقوع  $k$  بار ریسک  $R_i$  در طول زمان است. شبیه‌سازی می‌تواند برای پیش‌بینی پیامدهای یک ریسک خاص یا یک سناریوی خاص نیز استفاده شود. در هر سناریو ریسک‌های مشخصی با تنظیم احتمال خودبه‌خودی منصوب و شبیه‌سازی می‌شوند و پس از آن، می‌توان همه‌ی پیامدهای احتمالی سناریو را مشاهده کرد. به عنوان مثال، اگر به یک ریسک  $10\%$  احتمال خودبه‌خودی را اختصاص داده شود در حالی که همه ریسک‌های دیگر مقدار صفر درصد داشته باشند، با شبیه‌سازی می‌توان تماهی اثرات مستقیم و غیرمستقیم (روابط به دست آمده از روش دیتل) ریسک مدنظر را بر ریسک‌های دیگر در شبکه مشاهده کرد. عواقب ریسک که برای ارزیابی مجدد تأثیر آن در حوزه‌ی کلی شبکه‌ی ریسک استفاده می‌شود در رابطه‌ی  $22$  تعریف شده است.<sup>۱۵</sup>

$$CR[i] = \sum_{j=1}^n RF^i[j].RI[j] \quad (22)$$

در اینجا  $CR[i]$ <sup>۱۵</sup> آثار یا پیامدهای  $R_i$  است و  $[j]$   $RF^i$  نشان‌دهنده‌ی فرکانس ریسک شبیه‌سازی شده  $R_j$  از  $R_i$  است.  $[i]$   $RI$  اثر ریسک ارزیابی شده  $R_j$

از روش میانگین هندسی، جداول میانگین نظرات مقایسات زوجی تهیه می‌شود. پس از محاسبه‌ی نرخ ناسازگاری محاسبه‌ی بردارهای عددی وزن نسبی حاصل از مقایسات زوجی در مرحله‌ی  $3$  به روش میانگین هندسی باکلی حاصل می‌شود، که در ادامه توضیح داده می‌شود. در مرحله‌ی  $4$  مطابق روش فانگ و مارل بردارهای وزن نسبی محاسبه شده برای هر ریسک در کنار هم قرار می‌گیرند و دو ماتریس NCM و  $NEM^{12}$  را تشکیل می‌دهند، نهایتاً در مرحله‌ی  $5$  از رادیکال ضرب درایه به درایه دو ماتریس، ماتریس شدت وابستگی بین ریسک‌ها ( $RNM$ ) درایه به درایه دو ماتریس، ماتریس شدت وابستگی بین ریسک‌ها ( $RNM$ ) محاسبه می‌شود. مطابق روش فانگ و مارل، این مقادیر به عنوان احتمال انتقال بین ریسک‌ها تفسیر می‌شود. به عنوان مثال، اگر عنصر ( $3, 4$ )  $RNM$  برابر  $0.25$  باشد، آن‌گاه احتمال ریسک  $4$  ناشی از ریسک  $3$  تحت شرایطی که ریسک  $3$  فعال باشد،  $25\%$  در نظر گرفته می‌شود.<sup>۱۶</sup>

تکنیک میانگین هندسی باکلی برای محاسبه‌ی وزن نسبی در مقایسات زوجی فازی استفاده می‌شود.<sup>۱۶</sup> فرض کنید  $\tilde{P}_i$  مجموعه‌ی از ترجیحات تصمیم‌گیران در مورد یک شاخص نسبت به دیگر شاخص‌ها باشد. ماتریس مقایسات زوجی به صورت زیر تشکیل می‌شود:

$$\tilde{A} = \begin{bmatrix} 1 & \tilde{P}_{12} & \dots & \tilde{P}_{1n} \\ \tilde{P}_{21} & 1 & \dots & \tilde{P}_{2n} \\ \vdots & \vdots & \ddots & \vdots \\ \tilde{P}_{n1} & \tilde{P}_{n2} & \dots & 1 \end{bmatrix} \quad (16)$$

$n$  تعداد عناصر مرتبط در هر سطر است. میانگین هندسی ارزش مقایسات فازی شاخص  $i$  به هر شاخص از رابطه‌ی زیر به دست می‌آید.

$$\tilde{r}_i = \left( \prod_{j=1}^n \tilde{p}_{ij} \right)^{1/n} \quad i = 1, 2, 3, \dots, n \quad (17)$$

سپس وزن فازی  $i$  امین شاخص به وسیله‌ی یک عدد فازی مثلثی نشان داده می‌شود. بعد از محاسبه‌ی فاکتورهای وزن فازی، وزن‌ها دی‌فازی و سپس نرم‌الملال می‌شود.

$$w_i = r_i \otimes (r_1 \oplus r_2 \oplus \dots \oplus r_m)^{-1} \quad (18)$$

$$w_{crisp} = \frac{1 + 2m + u}{4} \quad (19)$$

در این پژوهش برای محاسبه‌ی وزن در مقایسات زوجی، از عبارات کلامی و اعداد فازی مثلثی مدرج در جدول ۷ استفاده شده است.

جدول ۷. طیف اعداد فازی.

ردیف	اولویت‌ها	معادل فازی اولویت‌ها	$F = (\alpha, m, \beta)$
۱	اهمیت یکسان	(۱, ۱, ۱)	
۲	یکسان تا نسبتاً مهم‌تر	(۱, ۲, ۳)	
۴	نسبتاً مهم‌تر تا اهمیت زیاد	(۳, ۴, ۵)	
۵	اهمیت زیاد	(۴, ۵, ۶)	
۶	اهمیت زیاد تا بسیار زیاد	(۵, ۶, ۷)	
۷	اهمیت بسیار زیاد	(۶, ۷, ۸)	
۸	بسیار زیاد تا کاملاً مهم‌تر	(۷, ۸, ۹)	
۹	کاملاً مهم‌تر	(۸, ۹, ۱۰)	

#### جدول ۸. نتایج FMEA فازی.

ریسک	احتمال وقوع	تأثیر	قابلیت کشف	مقادیر فازی	RPN	اولویت
				غیر فازی	RPN	
R <sub>۱</sub>	(۳, ۴, ۵)	(۴, ۳۲۳, ۵, ۳۲۳, ۶, ۳۲۳)	(۳, ۶۶۷, ۴, ۶۶۷, ۵, ۶۶۷)	(۴۷, ۶۶۷, ۹۹, ۵۵۶, ۱۷۹, ۴۴۴)	۲۳۰, ۲۴۵	۷
R <sub>۲</sub>	(۱, ۶۶۷, ۲, ۶۶۷, ۳, ۶۶۷)	(۵, ۳۲۳, ۶, ۳۲۳, ۷, ۳۲۳)	(۶, ۳۲۳, ۷, ۳۲۳, ۸, ۳۲۳)	(۵۶, ۲۹۶, ۱۲۳, ۸۵۲, ۲۲۴, ۷۴)	۲۸۷, ۰, ۸۱	۵
R <sub>۳</sub>	(۲, ۳۲۳, ۳, ۳۲۳, ۴, ۳۲۳)	(۶, ۶۶۷, ۷, ۶۶۷, ۸, ۶۶۷)	(۶, ۳۲۳, ۷, ۳۲۳, ۸, ۳۲۳)	(۹۸, ۵۱۹, ۱۸۷, ۴۰۷, ۳۱۲, ۹۶۳)	۴۰۷, ۶۰۸	۱
R <sub>۴</sub>	(۲, ۶۶۷, ۳, ۶۶۷, ۴, ۶۶۷)	(۳, ۶۶۷, ۴, ۶۶۷, ۵, ۶۶۷)	(۳, ۶۶۷, ۴, ۶۶۷, ۵, ۶۶۷)	(۳۵, ۸۵۲, ۷۹, ۸۵۲, ۱۴۹, ۸۵۲)	۱۹۰, ۸۶۱	۸
R <sub>۵</sub>	(۲, ۳۲۳, ۳, ۳۲۳, ۴, ۳۲۳)	(۶, ۳۲۳, ۷, ۳۲۳, ۸, ۳۲۳)	(۶, ۳۲۳, ۷, ۳۲۳, ۸, ۳۲۳)	(۸۸, ۶۶۷, ۱۷۱, ۱۱۱, ۲۸۸, ۸۸۹)	۳۷۵, ۳۹۹	۴
R <sub>۶</sub>	(۲, ۳۲۳, ۳, ۳۲۳, ۴, ۳۲۳)	(۵, ۶, ۷)	(۵, ۳۲۳, ۶, ۳۲۳, ۷, ۳۲۳)	(۶۲, ۲۲۴, ۱۲۶, ۶۶۷, ۲۲۲, ۴۴۴)	۲۸۶, ۷۸	۶
R <sub>۷</sub>	(۱, ۶۶۷, ۲, ۶۶۷, ۳, ۳۲۳)	(۳, ۳۲۳, ۴, ۳۲۳, ۵, ۳۲۳)	(۳, ۳۲۳, ۴, ۳۲۳, ۵, ۳۲۳)	(۱۸, ۵۱۹, ۵۰, ۰, ۷۴, ۹۴, ۸۱۵)	۱۲۱, ۱۳۵	۹
R <sub>۸</sub>	(۳, ۶۶۷, ۴, ۶۶۷, ۵, ۶۶۷)	(۵, ۶, ۷)	(۵, ۳۲۳, ۶, ۳۲۳, ۷, ۳۲۳)	(۹۷, ۷۷۸, ۱۷۷, ۳۲۳, ۲۹۰, ۸۸۹)	۳۸۰, ۴۰۳	۳
R <sub>۹</sub>	(۳, ۴, ۵)	(۵, ۳۲۳, ۶, ۳۲۳, ۷, ۳۲۳)	(۵, ۳۲۳, ۶, ۳۲۳, ۷, ۳۲۳)	(۱۰۱, ۳۳۳, ۱۸۵, ۷۷۸, ۳۰۵, ۵۵۶)	۳۹۹, ۳۵۲	۲

جدول ۱۰. ماتریس روابط علی و معولی ریسک‌ها.

	R <sub>۱</sub>	R <sub>۲</sub>	R <sub>۳</sub>	R <sub>۴</sub>	R <sub>۵</sub>	R <sub>۶</sub>	R <sub>۷</sub>	R <sub>۸</sub>	R <sub>۹</sub>
R <sub>۱</sub>	.	.	.	.	.	.	.	.	.
R <sub>۲</sub>	۱	.	۱	۱	۱	۱	۱	۱	۱
R <sub>۳</sub>	۱	۱	.	.	۱	۱	۱	.	۱
R <sub>۴</sub>	.	.	.	.	.	.	.	.	.
R <sub>۵</sub>	۱	۱	۱	۱	.	۱	۱	۱	۱
R <sub>۶</sub>	۱	۱	۱	۱	۱	.	۱	۱	۱
R <sub>۷</sub>	۱	.	۱	۰	۱	۱	.	۱	.
R <sub>۸</sub>	۱	.	۰	۰	۰	۰	.	۰	.
R <sub>۹</sub>	۱	.	۰	۰	۰	۰	۰	۰	۰

جدول ۹. احتمالات خودبه‌خودی.

ریسک	احتمال وقوع (S)	دی‌فازی شده امتیاز (P)
R <sub>۱</sub>	۴, ۶۶۷	۰, ۰۹۶۵۶۲
R <sub>۲</sub>	۷, ۳۲۳	۰, ۴۰۵۵۱۹
R <sub>۳</sub>	۶, ۳۲۳	۰, ۲۷۲۷۷۳۸
R <sub>۴</sub>	۴, ۶۶۷	۰, ۰۹۶۵۶۲
R <sub>۵</sub>	۷, ۳۲۳	۰, ۴۰۵۵۱۹
R <sub>۶</sub>	۶	۰, ۲۳۲۰۷۹
R <sub>۷</sub>	۴, ۳۲۳	۰, ۰۷۱۲۳۲
R <sub>۸</sub>	۴, ۶۶۷	۰, ۰۹۶۵۶۲
R <sub>۹</sub>	۷, ۳۲۳	۰, ۴۰۵۵۱۹

است که ممکن است در مقیاس کیفی یا کمی بیان شود. در واقع تعداد تعاملات ریسک  $R_i$  است که در مسئله‌ی مورد نظر به این ترتیب است.

$$RI[1] = 6, RI[2] = 3, RI[3] = 4, RI[4] = 3$$

$$RI[5] = 4, RI[6] = 5, RI[7] = 4, RI[8] = 4$$

$$RI[9] = 4$$

برای ارزیابی مجدد و برآورده ریسک بحرانی، از عامل بحران کلی شبیه‌سازی شده (GC[i]<sup>۱۷</sup>) استفاده کرد. که حاصل ضرب فرکانس شبیه‌سازی شده ریسک و تمام اثرات ریسک در شبکه است و به صورت رابطه‌ی ۲۳ تعریف شده است:

$$GC[i] = RF[i] \cdot CR[i] \quad (23)$$

در شبیه‌سازی، فرمول‌هایی هستند که برای برآورده خداقل تعداد تکرار کاربرد دارند. در حالی که برای مطالعه‌ی پیش رو، تخمین تعداد قابل قبولی از تکرار مشکل است، زیرا بستگی به اندازه و پیچیدگی شبکه‌ی ریسک (بیویه نفوذ حلقه‌ها) دارد. لذا شبیه‌سازی با افزایش تعداد تکرارها تا زمانی که خروجی، یعنی فرکانس ریسک شبیه‌سازی شده به اندازه‌ی پایدار بررسد، اجرا می‌شود.

روش FMEA فازی انجام شد (جدول ۸) که در نتیجه آن ریسک تجزیب در اثر سیلاب بحرانی ترین ریسک تعیین شد. سپس با توجه به امتیازات داده شده به احتمال وقوع ریسک از سوی خبرگان احتمالات خودبه‌خودی محاسبه شده است که در جدول ۹ مشاهده می‌شود. وابستگی ریسک‌ها با محاسبه‌ی میانگین حسابی نظرات خبرگان و تشکیل ماتریس ارتباط مستقیم و مطابق گام‌های توضیح داده شده در روش دیتل فازی شناسایی شد.

برای ترسیم روابط قابل اعتنا، ماتریس فازی ارتباطات کل دی‌فازی می‌شود و سپس حد آستانه با محاسبه‌ی میانگین درایه‌های ماتریس قطعی ارتباط کامل مشخص می‌شود که برابر ۰,۱۵۶ است. هرکدام از درایه‌ها اگر از حد آستانه کمتر بود مقدار صفر و در غیر این صورت مقدار ۱ داده شود، به این ترتیب می‌توان از روابط جزئی صرف نظر کرد و شبکه‌ی روابط قابل اعتنا را ترسیم کرد (جدول ۱۰).

در جدول ۱۱ جمع عناصر هر سطر (D) نشان‌گر میزان تأثیرگذاری ریسک بر سایر ریسک‌های سیستم است. بنابراین وقوع ریزش‌های جوی از نوع باران های باشد تلا و طولانی مدت (R<sub>۱</sub>) از بیشترین تأثیرگذاری برخوردار است. جمع عناصر ستون (R) برای هر ریسک نشان‌گر میزان تأثیرگذاری آن ریسک از سایر ریسک‌های سیستم است. بنین اساس نفوذ آب به داخل بدنه تاج آب بندها (R<sub>۲</sub>) از میزان تأثیرپذیری بسیار زیادی برخوردار است. همچنین بر اساس بردار R + D بعد از شناسایی ۹ ریسک تهدیدکننده برای آب بندها، ارزیابی کیفی ریسک‌ها به

#### ۴. بحث و یافته‌ها

## جدول ۱۱. مقادیر D و R ریسک‌ها.

نوع ریسک	$Di - Ri$	$Di + Ri$	$(Di)^{\text{defuzzy}}$	$(Di)^{\text{defuzzy}}$	$Ri$	$Di$
علت	۱,۳۹۶	۲,۵۳۶	۰,۵۷۰	۱,۹۶۶	(۰, ۰, ۱,۷۱)	(۰,۰۳۱, ۱,۱۵۴, ۴,۲۱۴)
معلوم	-۱,۰۶۵	۳,۴۱۱	۲,۲۳۸	۱,۱۷۳	(۰,۰۵۶۰, ۱,۳۱۹, ۴,۸۲۹)	(۰,۱۳۸, ۰,۰۵۰, ۲,۲,۸۷۹)
معلوم	-۰,۱۴۱	۳,۲۷۸	۱,۷۰۹	۱,۰۵۶	(۰,۳۶۶, ۰,۴۹, ۳,۸۲۲)	(۰,۳۵۷, ۰,۱۱, ۳,۰۵۸)
علت	۰,۵۶۲	۱,۷۰۲	۰,۵۷۰	۱,۱۳۲	(۰, ۰, ۱,۷۱)	(۰, ۱۷, ۰, ۴۳۶, ۲,۷۸۹)
معلوم	-۰,۰۵۰	۳,۴۳۶	۱,۹۹۶	۱,۱۴۱	(۰,۴۵۴, ۱,۱۲۷, ۴,۴۰۶)	(۰,۲۵۰, ۰,۶۸۲, ۳,۳۸۴)
معلوم	-۰,۸۱۷	۳,۴۲۴	۲,۱۲۰	۱,۳۰۳	(۰,۰۵۱۸, ۱,۲۳۸, ۴,۶۰۵)	(۰,۱۵۲, ۰,۰۵۹, ۳,۱۶۸)
معلوم	-۰,۱۰۷	۲,۸۶۸	۱,۴۸۸	۱,۰۳۱	(۰,۱۵۱, ۰,۷۵۶, ۳,۰۵۷)	(۰,۱۹, ۰,۶۴۵, ۳,۰۶)
علت	۰,۵۸۱	۲,۲۶۵	۰,۸۴۲	۱,۴۲۳	(۰,۰۴۱, ۰,۲۲۶, ۲,۲۵۸)	(۰,۲۴۴, ۰,۶۶۵, ۳,۳۶۱)
علت	۰,۱۴۵	۲,۳۰۹	۱,۰۸۲	۱,۰۲۷	(۰,۱۱۱, ۰,۴۱۶, ۲,۷۱۸)	(۰,۱۶۸, ۰,۰۵۳۸, ۲,۹۷۵)

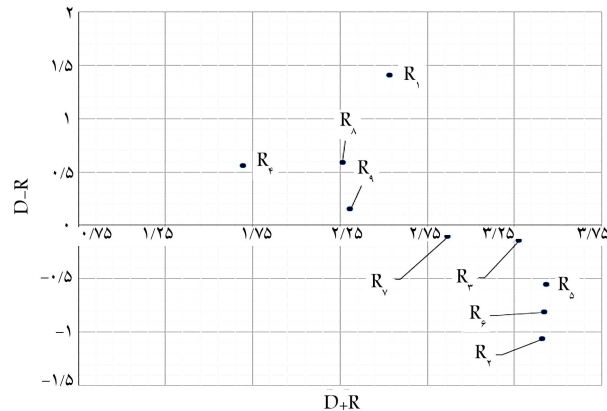
## جدول ۱۲. مقادیر RNM ریسک‌ها.

R <sub>9</sub>	R <sub>8</sub>	R <sub>7</sub>	R <sub>6</sub>	R <sub>5</sub>	R <sub>4</sub>	R <sub>3</sub>	R <sub>2</sub>	R <sub>1</sub>	R <sub>0</sub>
° 228	° 228	° 97	° 62	° 89	° 216	° 205	° 139	R <sub>7</sub>	
° 78	°	° 363	° 116	° 212	°	° 286	° 271	R <sub>3</sub>	
°	°	°	°	°	°	°	°	R <sub>4</sub>	
° 94	° 204	° 398	° 136	°	° 102	° 236	° 139	° 74	R <sub>5</sub>
° 91	° 1	° 177	°	° 82	° 088	° 106	° 13	° 107	R <sub>6</sub>
°	° 169	°	° 213	° 318	°	° 343	°	° 61	R <sub>7</sub>
°	°	°	°	°	°	°	°	°	R <sub>8</sub>
°	°	°	° 309	°	°	°	°	° 187	R <sub>9</sub>

با محاسبه احتمالات خودبهخودی و احتمالات انتقال، مدل شبکه‌ی ریسک حاصل شد. آنگاه ارزیابی مجدد ریسک‌ها به روش شبیه‌سازی مونت‌کارلو انجام گرفت و اهمیت و تأثیر در نظر گرفتن تعاملات ووابستگی‌های درونی بین ریسک‌ها را در اولویت‌بندی مجدد نشان داد. مدل مفهومی شبیه‌سازی مونت‌کارلو برای محاسبه‌ی دو فاکتور فرکانس ریسک و اثرات ریسک به این صورت در نظر گرفته شده است: برای هریک از ریسک‌ها عدد تصادفی تولید و با احتمال خودبهخودی ریسک مقایسه شده و تعیین می‌شود آیا آن ریسک اتفاق می‌افتد یا خیر. اگر عدد تولید شده از عدد احتمال خودبهخودی ریسک کمتر بود، آن ریسک اتفاق می‌افتد و اگر ریسکی اتفاق افتاد مدل شبیه‌سازی به سراغ وابستگی‌های آن ریسک می‌رود. عدد تصادفی با عدد انتقال ریسک مقایسه می‌شود؛ اگر آن عدد کوچکتر بود ریسک وابسته محقق می‌شود. برای نمونه با توجه به وابستگی‌ها اگر شبیه‌سازی به تعداد ۵۰ بار تکرار می‌شود نتایج نشان می‌دهد برای  $R_2$  در این کل این ۵۰ تکرار شبیه‌سازی، در ۷ تکرار یکبار رخ داده، در ۸ تکرار دوبار رخ داده، در ۵ تکرار سه بار رخ داده و در یکبار تکرار شبیه‌سازی چهار بار رخ داده و ... با برسی هر ۵۰ دور تکرار شبیه‌سازی، متوسط فرکانس وقوع  $R_2$  چنین محاسبه می‌شود:

$$RF[2] = 1 \times \frac{1}{5^{\circ}} + 2 \times \frac{1}{5^{\circ}} + 3 \times \frac{1}{5^{\circ}} + 4 \times \frac{1}{5^{\circ}} + 5 \times \frac{1}{5^{\circ}} + 6 \\ \times \frac{1}{5^{\circ}} + 7 \times \frac{1}{5^{\circ}} + 8 \times \frac{1}{5^{\circ}} + 10 \times \frac{1}{5^{\circ}} + 12 \times \frac{1}{5^{\circ}} + 14 \times \frac{1}{5^{\circ}} \\ + 15 \times \frac{1}{5^{\circ}} + 16 \times \frac{1}{5^{\circ}} + 19 \times \frac{1}{5^{\circ}} + 22 \times \frac{1}{5^{\circ}} = \frac{188}{5^{\circ}} = 37.6$$

به این ترتیب برای هر ریسک فاکتور  $RF$  استخراج می‌شود. به همین نحو  $CR$  برای هر سک محسنه می‌شود. به نک، سک  $100\%$  احتمال خوده خودی



شکار ۳. نمودار و استنگ، علم و معلوم، و سک ها.

D – R می‌توان ریسک‌های را از نظر علمت و معلول بودن مورد بررسی قرار داد که در شکل ۳ نشان داده است.

براین اساس ریسک‌هایی که در بالای محور افقی شکل ۳ هستند دارای  $D - R$  مشیت هستند، پس جنبه‌ی علمت دارند و ریسک‌هایی که در پایین محور افقی هستند دارای  $D - R$  منفی اند جنبه‌ی معلول دارند. پس از شناسایی وابستگی ریسک‌ها به محاسبه‌ی شدت وابستگی‌ها برداخته می‌شود. شدت وابستگی ریسک‌ها یا احتمال انتقال بین ریسک‌ها با تلفیق روش دیمتل فازی و AHP توسعه یافته فازی مطابق الگوریتم مارل و دیگران<sup>[۱۹]</sup> محاسبه شد و مورد ارزیابی قرار گرفت؛ نتایج در حدود ۱۲ قابا، مشاهده است.

۵۔ نتیجہ گیری

ین پژوهش ضمن به روزسازی چارچوب پشتیبان تصمیم به ارائه ارزیابی ریسک با در نظر گرفتن اثرات متقابل ریسک‌ها پرداخت تا بتواند با رویکردی کاربردی ارزیابی ریسک را در مطالعات واقعی پیاده‌سازی کند. از آن‌جا که ماهیت ریسک همواره عدم قطعیت همراه بوده و عدم قطعیت یکی از ویژگی‌های ذاتی محیط اجرای ریزوه‌ها است، سعی شد ابهام موجود در محیط و پارامترهای غیرقطعی شناسایی شود و در مرحله‌ی ارزیابی، وارد مدل شد.

برای این منظور با استفاده از نظریه‌ی فازی، ابتدا از روش FMEA فازی برای رزیابی کیفی ریسک‌ها بهره گرفته شد و سپس از تلفیق روش دیتل و AHP نوسعه یافته فازی برای محاسبه‌ی شدت و استنگی ریسک‌ها استفاده شد. با توجه به این که رویکرد کلی ارزیابی، در نظر گرفتن واستنگی‌هایی چون اثرات متقابل و هم‌رخدادی در ریسک‌ها در محیط عدم قطعیت است، پیجیدگی مسائل با وجود حلقه‌های تقویت‌کننده در روابط ریسک‌ها و ماهیت احتمالی بودن متغیرها بسیار است. لذا از شبیه‌سازی برای ارزیابی مجدد ریسک‌ها استفاده شد و با شبیه‌سازی موئنت‌کارلو ارزیابی مجدد ریسک‌ها انجام شد.

مدل پیشنهادی در مطالعه‌ی موردی دو آب بند خاکی در اطراف پالایشگاه شهید هاشمی نژاد در محدوده‌ی سرخس پیاده‌سازی و منجر به ارزیابی مجدد شد. در تجیجه‌ی این تحقیق، ۹ ریسک و روابط بین آن‌ها شناسایی و شدت و استگشایی بین ریسک‌ها محاسبه شد. شیوه‌سازی نشان داد ریسک بسته شدن لوله‌ی سرریز که در تحلیل کیفی رتیه‌ی چهارم را داشته، بالاترین رتبه را دارد و بحرانی‌ترین ریسک سمت.

در تحقیقات آتی می‌توان با شناسایی اقدامات پاسخ به ریسک که منجر به قطع با کاهش میزان وابستگی، احتمال وقوع و اثرات ریسک‌ها می‌شود، پاسخ‌ها را در مدل آزمایش کرد و با ارزیابی نتایج احتمالی، مطلوب‌ترین پاسخ را بیز انتخاب کرد. پس اقدامات پاسخ به ریسک انتخاب شده اجرا می‌شود و تحت کنترل و پایش قرار می‌گیرد. در نهایت در چارچوب پشتیبان تصمیم، فرایند مدیریت ریسک مدام تحت کنترل خواهد بود. لذا مدل می‌تواند به طور مداوم ریسک‌ها و اقدامات پاسخ به ریسک جدید را نظارت و ارزیابی و اولویت‌بندی کند تا پیشنهادها و اقدامات کاهشی را بررسی کند و از تصمیم‌گیران در تصمیمات مرتبط با مدیریت ریسک حمایت کند. همچنین طراحان DSS می‌توانند با ارائه یک نرم‌افزار مدیریتی در این زمینه ما ایده‌گرفتن از چارچوب ارائه شده، مدیران را در تجزیه و تحلیل داده‌ها و کنترل ظایبات مستقر ماخت نموده باشند.

در این تحقیق به منظور در نظر گرفتن عدم قطعیت از نظریه‌ی فازی و اعداد متشابه به دلیل سهولت و پکاربردتر بودن روش استفاده شده است، لذا می‌توان ز دیگر روش‌ها یا در نظر گرفتن سایر اعداد فازی از قبیل؛ ذوزنقه‌یی، گوسی و ... استفاده کرد.

و تشکر

قسمتی از این پژوهش با حمایت مالی و اطلاعاتی شرکت پالایش گاز شهریه هاشمی نژاد نجات گرفته است. لذا از تمامی مدیران و کارشناسان مجموعه جهت همکاری در پنجام پژوهش، حاضر شنید و قدردانی، می‌شود.

### جدول ۱۳. نتایج ارزیابی مجدد ریسک‌ها.

رتبه	شیوه سازی	رتبه	فازی FMEA
۸	۲,۰۳۲	۷	۲۳۰,۲۴۵
۶	۱۰,۷۹۲	۵	۲۸۷,۰۸۱
۳	۳۰۲,۶۳۰۴	۱	۴۰۷,۶۰۸
۹	۱,۰۵۴۴	۸	۱۹۰,۸۶۱
۱	۵۴۵,۱۷۱۲	۴	۳۷۵,۳۹۹
۴	۲۰۹,۵۲۴۴	۶	۲۸۶,۷۸
۲	۴۰۱,۳۱۳۶	۹	۱۲۱,۱۳۵
۷	۵,۸۷۶	۳	۳۸۰,۴۵۳
۵	۱۹۷,۳۴۳۶	۲	۳۹۹,۳۵۲

#### جدول ۱۴. مقایسه اولویت‌بندی ریسک.

الوليـت	<i>GC[i]</i>	<i>CR[i]</i>	<i>RF[i]</i>
٨	٢٧,٠٣٢	٢٥,٤	٠,٠٨
٦	١٥,٧٩٢	٤,٢	٣,٧٨
٣	٣٠,٢,٦٣	٥١,١٢	٥,٩٢
٩	١,٠٥٤٤	١٣,١٨	٠,٠٨
١	٥٤٥,١٧	٩٦,٣٢	٥,٦٦
٤	٢٠,٩,٥٢	٢٩,٠٢	٧,٢٢
٢	٤٠,١,٣١	٧١,٩٢	٥,٥٨
٧	٥,٨٧٦	٥٨,٧٦	٠,١
٥	١٩٧,٣٤	٦٩,٩٨	٢,٨٢

اخصاص داده می شود در حالی که به همه ریسک های دیگر مقدار صفر درصد داده می شود. با شیوه سازی می توان تمامی اثرات مستقیم و غیر مستقیم ریسک مد نظر را بر ریسک های دیگر شیکه، مطابق راطه  $CR$  مشاهده کرد. نتایج ارزیابی مجدد در جدول ۱۳ قابل مشاهده است.

نتایج اولویت‌بندی در جدول ۱۴ قابل مشاهده است. نتایج اولویت‌بندی ریسک‌پس از شیوه‌سازی تغییر کرده است. چندین ریسک در رتبه‌ی بالاتری از لحاظ فرکانس قرار گرفته‌اند، در حالی که رتبه‌ی برخی دیگر کاهش یافته است. به عنوان مثال، در روش کلاسیک،  $R_3$  (موقع تخریب دیواره‌ی آب‌بند در اثر وقوع سیلاب) به عنوان بحرانی‌ترین ریسک شناخته شد. اما بالاترین رتبه‌ی کلی روش شیوه‌سازی، شده  $R_5$  (سته شدن لوله‌ی سرد) است.

بسته شدن لوله‌ی سرریز به عنوان بحرا نی ترین ریسک انتخاب شده است، این ریسک از ریسک‌های انتقال است که طبق میانگین نظر خبرگان از هشت ریسک تأثیر می‌پذیرد و بر روی چهار ریسک تأثیرگذارد است. با توجه به این که در آب‌بندهای ۱ و ۲ سرریز از نوع غیراستاندارد بوده و به شکل لوله‌یی به قطر mm ۶۰۰ جایگذاری شده است که خلاف اصول طراحی سرریزهای استاندارد است و خود ریسکی است که آب‌بندها را تهدید می‌کند. ایجاد مانع در طول مسیر سرریز از هر نوع که باشد یک خط‌حدی، در موقع بحران، در تخریب سد محسوب می‌شود.

1. decision support system
2. genesis
3. failure mode and effects analysis
4. analytic hierarchical process
5. project risk analysis and management guide
6. risk priority number
7. spontaneous probability
8. risk structure matrix
9. binary cause vectors
10. binary effect vectors
11. cause/effect comparison matrices
12. numerical cause/ effect vectors
13. risk numerical matrix
14. simulated risk frequency
15. consequences of  $R_i$
16. the evaluated risk impact of  $R_j$
17. simulated global criticality

## (References) منابع

1. Frayand jush ab vapayesh. "Risk assessment of dam failure", Registered at Shahid Hashemi Nejad Gas Refining Company, (In Persian) (2017).
2. Knight, F.H. "Risk, uncertainty and profit", Reprint New York: Augustus M.Kelley orginal edition, Boston:Houghton Mifflin (1964).
3. Bazaar, Gh., Jalili Majarshin, A. and Jalaliani, H. "Decision support system DSS", First edition, Tehran: Zand Publications (In Persian) (2012).
4. Kabaranzadeh Ghadim, M.R. and Rofougar Astaneh, H. "Designing a decision support system (DSS) schema with applying genetic algorithm for survey of resource leveling problem-(vehicles)", *Journal of Information Technology Management*, **1**(3), pp. 69-88 (In Persian) (2009).
5. Hastak, M. and Shaked, A. "ICRAM-1: model for international construction risk assessment", *Int. J. of ASCE J Manage Eng*, **16**, pp. 59-69 (2000).
6. Han, S.H., Diekmann, J.E., Lee, Y. and et al. "Multicriteria financial portfolio risk management for international projects", *J. of Constr Eng Manage*, **130**(3), pp.346-356 (2004).
7. Dikmen, I. and Birgonul, M.T. "An AHP based model for risk and opportunity assessment of international construction projects", *Int. J. of Can J Civil Eng*, **33**, pp. 58-68 (2006).
8. Mokhtari, K., Ren, J., Roberts, Ch. and et al. "Decision support framework for risk management on sea ports and terminals using fuzzy set theory and evidential reasoning approach", *Int. J. of Expert Systems with Applications*, **39**, pp. 5087-5103 (2012).
9. Hong, Zh. and Lee, C. "A decision support system for procurement risk management in the presence of spot market", *Int. J. of Decision Support Systems*, **55**, pp. 67-78 (2013).
10. Seifi Sarrikhieh, M., Chahar Sookie, S. and Hosseinzadeh Kashan, A. "Designing a model-based decision support system for integrating project performance assessment and risk management (construction investment projects)", *Int. J. of Sharif Industrial Engineering and Management*, **33.1**(1.2), pp. 129-139 (In Persian) (2017).
11. Fang, Ch. and Marle, F. "A Simulation-based risk network model for decision support in project risk management", *Int. J. of Decision Support Systems*, **52**, pp. 635-644 (2012).
12. Zegordi, H., Nazari, A. and Rezai Nick, E. "Project risk assessment by combined approach of network analysis process and fuzzy TOPSIS method", *Int. J. of Sharif Industrial Engineering and Management*, **21-29**(2), pp. 3-14 (In Persian) (2013).
13. Zou, P.X., Zhang, G. and Wang, J. "Understanding the key risks in construction projects in China", *Int. J. of Project Management*, **25**(6), pp. 601-614 (2007).
14. Hossenzadeh shahry, M. and Ghadakforoshan, M. "Prioritizing E-banking risks from the perspective of public and private bank managers", *Organizational Resource Management Research*, **2**(4), pp. 45-63 (In Persian) (2012).
15. Kolahan, F., Rezai Nik, E., Hassani Dughabadi, M. and et al. "Identifying and prioritizing the risks of electricity development projects of the country (case study: Khorasan regional electricity transmission and distribution area)", *Int. J. of Industrial Engineering*, **49**(1), pp. 107-116 (In Persian) (2015).
16. Mousavi, P., Yousefi Zenoz, R. and Hassanpour, A. "Identifying organizational information security risks using fuzzy delphi method in banking industry", *Int. J. of Information Technology Management*, **7**(1), pp. 163-184 (In Persian) (2015).
17. Sayed Javadin, S.R., Safari, H. and Ebrahimi, A. "Providing a framework for identifying strategic risks in investment holding companies", *Int. J. of Business Management, University of Tehran, Article 5*, **8**(1), pp. 89-116 (In Persian) (2016).
18. Lee, E., Park, Y. and Shin, J.G. "Large engineering project risk management using a Bayesian belief network", *Int. J. of Expert Systems with Applications*, **36**(3), pp. 5880-5887 (2009).
19. Marle, F., Vidal, L.A. and Bocquet, J.C. "Interactions-based risk clustering methodologies and algorithms for complex project management", *Int. J. of Production Economics*, **142**(2), pp. 225-234. (2013).
20. Baghdadi, A. and Kishk, M. "Saudi arabian aviation construction projects: identification of risks and their consequences", *Int. J. of Procedia Engineering*, **123**, pp. 32-40 (2015).
21. Shrestha, P.P., Batista, J. and Maharjan, R. "Risks involved in using alternative project delivery (APD) methods in water and wastewater projects", *Int. J. of Procedia Engineering*, **145**, pp. 219-223 (2016).
22. Kianfer, F., Najmi, M. and Ebrahimi, M.E. "Calculating risk priority in FMEA model using fuzzy theory", *2th Int. conf. on Management*, Tehran, Sharif University of Technology, Faculty of Management and Economics (In Persian) (2004).
23. Hemmati, M. and Bahu, A. "Providing a combined model of demetel method and fuzzy hierarchy process to rank factors affecting power plant risk", *Int. J. of Industrial Engineering & Management*, **33.1**(2.2), pp. 63-74 (In Persian) (2017).

24. Peláez, C.E. and Bowles, J.B. "Using fuzzy cognitive maps as a system model for failure modes and effects analysis", *Int. J. of Information Sciences*, **88**(1-4), pp. 177-199 (1996).
25. Chang, C.L., Wei, C.C. and Lee, Y.H. "Failure mode and effects analysis using fuzzy method and grey theory", *Int. J. of Kybernetes*, **28**(9), pp. 1072-1080 (1999).
26. Guimarães, A.C.F. and Lapa, C.M.F. "Fuzzy FMEA applied to PWR chemical and volume control system", *Int. J. of Progress in Nuclear Energy*, **44**(3), pp. 191-213 (2004).
27. Zeng, J., An, M. and Smith, N.J. "Application of a fuzzy based decision making methodology to construction project risk assessment", *Int. J. of Project Management*, **25**(6), pp. 589-600 (2007).
28. Mojtabaei, S.M.H., Mousavi, S.M. and Makui, A. "Project risk identification and assessment simultaneously using multi-attribute group decision making technique", *Int. J. of Safety science*, **48**, pp. 499-507 (2010).
29. Ebrahimnejad, S., Mousavi, S.M. and Seyrafianpour, H. "Risk identification and assessment for build-operate-transfer projects: a fuzzy multi attribute decision making model", *Int. J. of Expert Systems With Applications*, **37**, pp. 575-586 (2010).
30. Morote, A.N. and Vila, F.R. "A fuzzy approach to construction project risk assessment", *Int. J. of Project Management*, **29**, pp. 220-231 (2011).
31. Wang, J. and Sun, Y. "The intuitionistic fuzzy sets on evaluation of risks in projects of energy management contract", *Int. J. of Systems Engineering Procedia*, **3**, pp. 30-35 (2012).
32. Hadi-Vencheh, A. and Aghajani, M. "Failure mode and effects analysis: a fuzzy group MCDM approach", *Int. J. of Soft Computing and Applications*, pp. 1-14 (2013).
33. Liu, S., Xie, Z., Zhang, W. and et al. "Risk assessment in Chinese food safety", *Int. J. of Food Control*, **30**(1), pp. 162-167. (2013).
34. Jamshidi, A., Rahimi, S.A., Ait-Kadi, D. and et al. "A comprehensive fuzzy risk-based maintenance framework for prioritization of medical devices", *Int. J. of Applied Soft Computing*, **32**, pp. 322-334 (2015).
35. Liu, J. and Wei, Q. "Risk evaluation of electric vehicle charging infrastructure publicprivate partnership projects in China using fuzzy TOPSIS", *Int. J. of Cleaner Production*, **189**, pp. 211-222 (2018).
36. Diekmann, J.E. "Probabilistic estimating: mathematics and applications", *Int. J. of Construction Engineering and Management*, **109**, pp. 297-308 (1983).
37. Diekmann, J.E. "Risk analysis: lessons from artificial intelligence", *Int. J. of Project Management*, **10**(2), pp. 75-80 (1992).
38. Zayed, T.M. and Chang, L.M. "Prototype model for build-operate-transfer risk assessment", *Int. J. of Management in Engineering*, **18**(1), pp. 7-16 (2002).
39. Kang, C.C. and Feng, C.M. "Risk measurement and risk identification for BOT projects: a multi-attribute utility approach", *Int. J. of Mathematical and Computer Modelling*, **49**(9), pp. 1802-1815 (2009).
40. Muriana, C. and Vizzini, G. "Project risk management: a deterministic quantitative technique for assessment and mitigation", *Int. J. of Project Management*, **35**(3), pp. 320-340 (2017).
41. Liu, J., Jin, F., Xie, Q. and et al. "Improving risk assessment in financial feasibility of international engineering projects: a risk driver perspective", *Int. J. of Project Management*, **35**(2), pp. 204-211 (2017).
42. Gall, M., Borg, W. and Gall, J., *Qualitative and quantitative Research Methods in Educational Sciences and Psychology*, Translated by Ahmabd Reza Nasr, Moham Jafar Pakseresh, Ali Delavar, Alireza kiamanesh, Gholam Reza khoeynejad, Mahmood Abolghasemi, Mohamdhosein Alamatsaz, HamidReza Arizi, Khosro Bagheri. Vol.1. Shahid Beheshti University and the Organization of Humanities Studies and Book Authorization Publication (In Persian) (2003).
43. Yeh, T.M. and Huang, Y.L. "Factors in determining wind farm location: integrating GQM, fuzzy DEMATEL, and ANP", *Renewable Energy*, **66**, pp. 159-169 (2014).
44. Habibi, A., Izadbar, S. and Sarafrazi, A., *Fuzzy Multi-Criteria Decision Making*, Gill Inscription Publications (2014).
45. Nazari, A., Forsatkar, A. and Kianfar, B. "Ray Management in Projects", *Competitive Issues in Presidential Planning*, (In Persian) (2008).
46. Hsieh, T.Y., Lu, S.T. and Tzeng, G.H. "Fuzzy MCDM approach for planning and design tenders selection in public office buildings", *Int. J. of Project Management*, **22**(7), pp. 573-584 (2004).